

HACD1204QN型

低抖动LVDS时钟缓冲器 产品说明书

成都华奥创芯科技有限公司



1 产品概述

HACD1204QN 是一款 2.0GHz, 4 路输出差分高性能时钟扇出缓冲器,它将两个可选输入时钟之一分配给四对差分 LVDS 时钟输出,输入信号可以是 LVDS、LVPECL 或 LVCMOS,最高时钟频率可达 2.0GHz。该器件专为高频、低相位噪声时钟和数据信号的信号扇出而设计。

2 产品特性

- a) 2: 4 差分时钟缓冲器;
- b) 通用输入接受 LVPECL、LVDS、HCSL 和 LVCMOS;
- c) 四路 LVDS 输出;
- d) 最大输出频率 (LVDS): 2.0GHz;
- e) 最大传播延迟: 500ps (典型值);
- f) 输出偏斜: 50ps (典型);
- g) 低附加抖动@156.25MHz: 100fs RMS (10kHz~20MHz);
- h) 电源电压: 3.3V 或 2.5V;
- i) 与 TI 公司的 CDCLVD1204 引脚兼容;
- j) 封装形式为 QFN16, 塑封。

3 功能描述

表1 输入选择真值表

| IN_SEL | 时钟输入 |
|--------|------------|
| 0 | INPO, INNO |
| 1 | INP1, INN1 |

4 原理框图

产品的功能原理框图如图 1 所示。

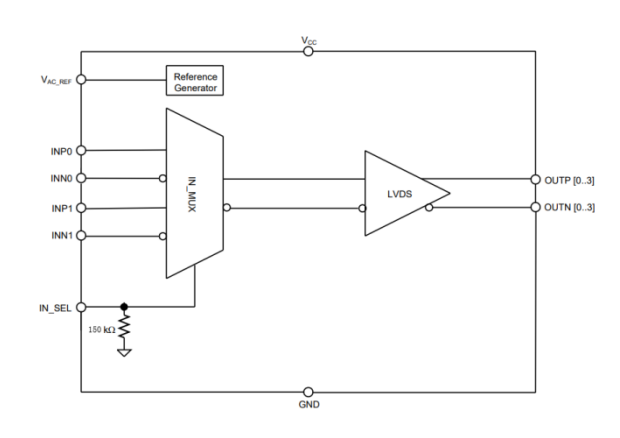
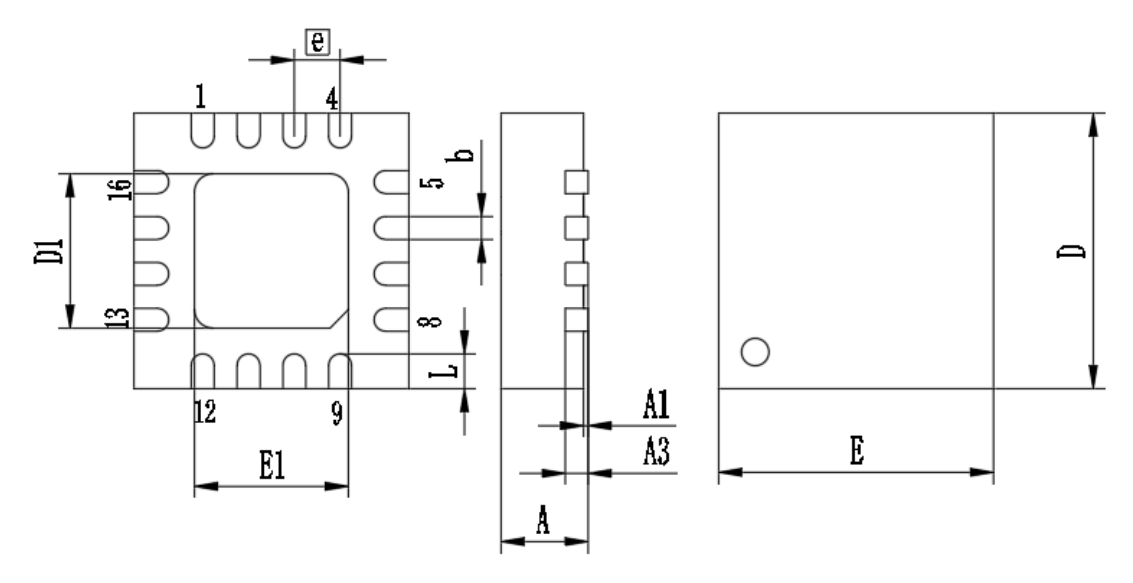


图1功能框图

5 封装形式及尺寸

HACD1204QN 采用 QFN16 封装,具体封装尺寸如图 2 所示。

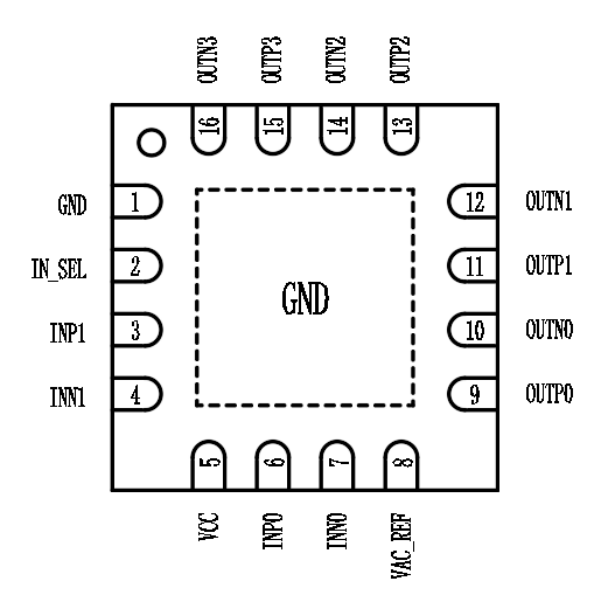


| 尺寸符号 | | 数值(单位: mm) | |
|------|------|------------|------|
| 人力和名 | 最小 | 公称 | 最大 |
| A | 0.80 | 0.90 | 1.00 |
| A1 | 0 | 0.02 | 0.05 |
| A3 | | 0.20 | 1 |
| D | 2.90 | 3.00 | 3.10 |
| Е | 2.90 | 3.00 | 3.10 |
| D1 | 1.60 | 1.70 | 1.80 |
| E1 | 1.60 | 1.70 | 1.80 |
| b | 0.20 | 0.25 | 0.30 |
| e | | 0.5BSC | |
| L | 0.30 | 0.40 | 0.50 |

图2 HACD1204QN 封装尺寸图



6 引出端排列图



注:底部焊盘 PAD (即 GND) 必须连接至 VEE。

图3 HACD1204QN 引出端排列图(顶视图)

表2 HACD1204QN 引出端功能表

| 引出端 序号 | 符号 | I/O | 功能 | |
|--------|---------------|-----|--------------------------------------|--|
| 1 | GND | | 接地 | |
| 2 | INSEL | I | 输入选择,内部 150k Ω下拉电阻。 | |
| 3 | INP1 | I | 差分或单端输入 | |
| 4 | INN1 | I | 差分时钟输入 | |
| 5 | VCC | I | 电源 | |
| 6 | INP0 | I | 冗余差分输入或单端输入 | |
| 7 | INN0 | I | 反向差分时钟 | |
| 8 | V_{AC_REF} | О | 基准输出电压。如果使用,建议在此引脚上使用 0.1 μ F 至 GND。 | |
| 9 | OUTP0 | О | 差分 LVDS 时钟输出对 0 | |
| 10 | OUTN0 | О | 差分 LVDS 时钟输出对 0 | |
| 11 | OUTP1 | О | 差分 LVDS 时钟输出对 1 | |
| 12 | OUTN1 | О | 差分 LVDS 时钟输出对 1 | |
| 13 | OUTP2 | 0 | 差分 LVDS 时钟输出对 2 | |



| 14 | OUTN2 | О | 差分 LVDS 时钟输出对 2 | | |
|----|-------|---|-----------------|--|--|
| 15 | OUTP3 | О | 差分 LVDS 时钟输出对 3 | | |
| 16 | OUTN3 | 0 | 差分 LVDS 时钟输出对 3 | | |

7 绝对最大额定值

| 参数 | 符号 | 最小值 | 最大值 | 单位 |
|------|-----------|------|---------|---------------|
| 电源电压 | VCC | 0.5 | 4.6 | V |
| 输入电压 | VIN | -0.5 | VCC+0.5 | V |
| 结温范围 | T_{J} | | 125 | ${\mathbb C}$ |
| 储藏温度 | T_{STG} | -65 | 150 | $^{\circ}$ |

8 推荐工作条件

| 参数 | 符号 | 最小值 最大值 | | 单位 |
|------|---------|-----------------|-------|------------|
| 电源电压 | VCC | 3.135 | 3.465 | V |
| 电源电压 | VCC | VCC 2.375 2.625 | | V |
| 工作温度 | T_{A} | -40 | 85 | $^{\circ}$ |

9 电特性

除另有规定外, $VCC=2.5V\pm5\%$,-40 $\mathbb{C} \leqslant T_A \leqslant 85$ \mathbb{C} ,产品的电特性见表 3 所示。

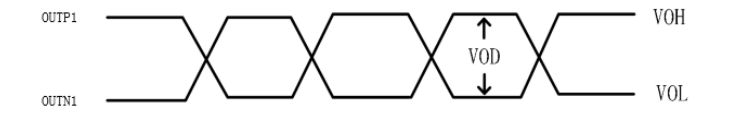
表3 电特性

| 参数 | 然 旦 | 符号 条件 | 参数值 | | | 录 5÷ | | |
|------------|----------------------------|---|----------|-----|----------|-------------|--|--|
| 多 | 付亏 | | 最小 | 典型 | 最大 | 单位 | | |
| 选择控制特性 | 选择控制特性 | | | | | | | |
| 输入高电压 | VIH | 1 | 0.7VCC | | | V | | |
| 输入低电压 | VIL | | | | 0.3VDD | V | | |
| 输入高电流 | IIH | $VCC = 2.625 V, V_{IH} = 2.625 V$ | | | 30 | μΑ | | |
| 输入低电流 | IIL | $VCC = 2.625 \text{ V}, V_{IL} = 0 \text{ V}$ | | | -30 | μΑ | | |
| 下拉电阻 | R _{pull} (IN_SEL) | | | 150 | | kΩ | | |
| LVCMOS 输之 | λ特性 | | <u> </u> | | <u> </u> | | | |
| 输入频率 | F_{IN} | | 0.1 | | 250 | MHz | | |
| 输入阈值电 压 | V_{th} | 施加到互补输入端的外部阈值 电压 | 1.1 | | 1.5 | V | | |
| 输入高电压 | V_{IH} | | 1.2 | | VCC | V | | |
| 输入低电压 | V_{IL} | | 0 | | 1.4 | V | | |
| 输入高电流 | I_{IH} | $VCC = 2.625V, V_{IH} = 2.625V$ | | | 10 | μΑ | | |



| 输入低电流 | $I_{ m IL}$ | VCC= 2.625V, V _{IL} =0V | | | -10 | μA | | |
|----------------------|---------------------|--|------|-----|---------|------------------|--|--|
| 转换速率 | $\Delta V/\Delta T$ | 20%到 80% | 1.5 | | | V/ns | | |
| 差分输入特性 | | | | | | | | |
| 输入频率 | F _{IN} | | 0.1 | | 2000 | MHz | | |
| 差分输入电 压(峰峰值) | VIN,DIF | V _{ICM} =1.25V | 0.3 | | 1.6 | V _{P-P} | | |
| 输入共模电 压 | $V_{\rm ICM}$ | VIN, DIFF, PP > 0.4 | 1 | | VCC-0.3 | V | | |
| 输入高电流 | I_{IH} | VCC= 2.625V, V _{IH} = 2.625V | | | 10 | μΑ | | |
| 输入低电流 | I_{IL} | VCC= 2.625V, V _{IL} =0V | | | -10 | μΑ | | |
| 转换速率 | $\Delta V/\Delta T$ | 20%到 80% | 0.75 | | | V/ns | | |
| 输入电容 | C_{IN} | | | 2.5 | | pF | | |
| LVDS 输出特 | 性(VCC=3.3V | /±5%) | | | | • | | |
| 差分输出电 压幅值 | V _{OD} | VIN, DIFF,RL=100 Ω | 250 | | 450 | mV | | |
| 差分输出电 压幅值变化 | ΔV_{OD} | VIN, DIFF,RL=100 Ω | -15 | | 15 | mV | | |
| 稳态模式输 出电压 | V _{OC(ss)} | VIN, DIFF,RL=100 Ω | 1.1 | | 1.375 | V | | |
| 稳态模式输 出电压幅值 变化 | $\Delta V_{OC(ss)}$ | VIN, DIFF,RL=100 Ω | -15 | | 15 | V | | |
| 输出过冲或 下冲 | Vring | 输出幅度 VoD 的百分比 | | | 10% | | | |
| 输出交流共 模 | V _{OS} | VIN, DIFF, PP=0.6V, RL=100 Ω | | 25 | 70 | mV_{P-P} | | |
| 短路输出电 流 | I_{OS} | V _{OD} =0V | -24 | | +24 | mA | | |
| 传播延迟 | t_{PD} | VIN, DIFF, PP=0.3V | | 0.5 | 1.5 | ns | | |
| 输出偏斜 | $t_{SK,O}$ | | | 10 | 50 | ps | | |
| 脉冲偏斜 | $t_{SK,P}$ | 50%占空比输入,交叉点间失真 | -50 | | 50 | ps,RMS | | |
| 随机附加抖 动 | t_{RJIT} | 50%占空比输入,边缘速度=0.75 V/ns, 10kHz 至 20MHz。 | | 62 | 100 | fs | | |
| 输出上升和 下降时间 | $t_{ m R}/t_{ m F}$ | 20%到 80% | 50 | 150 | 300 | ps | | |

10 典型性能特征



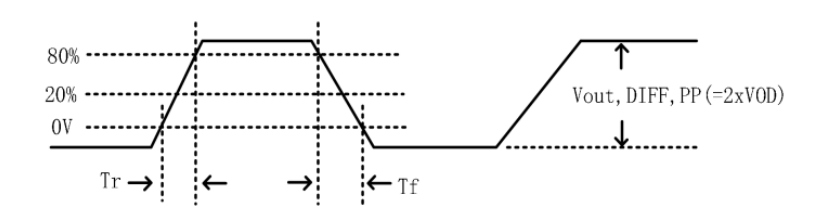


图4输出电压和上升/下降时间

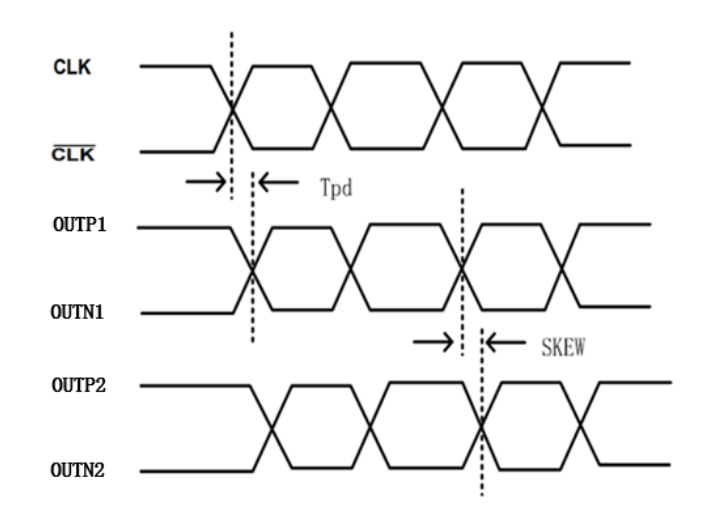


图5输出和偏斜

注:输出偏斜按以下两者中的较大值计算:作为最快和最慢 tPLHn 之间的差值($n=0,1,2\cdots.7$),或作为最快与最慢 tPHLn 之间的差($n=0,1,2\cdots.7$)。

11 典型应用及注意事项

a) 差分信号输入以接受单端电平电路

对于单端输入的 LVCMOS 信号,驱动器中的 Rs 和 R0 形成 50 Ω 阻抗匹配,定向隔离电容器 C3 避免了输入和输出之间共模电平的影响,然后通过分压器和共模电平将接收器驱动到 VCC/2。

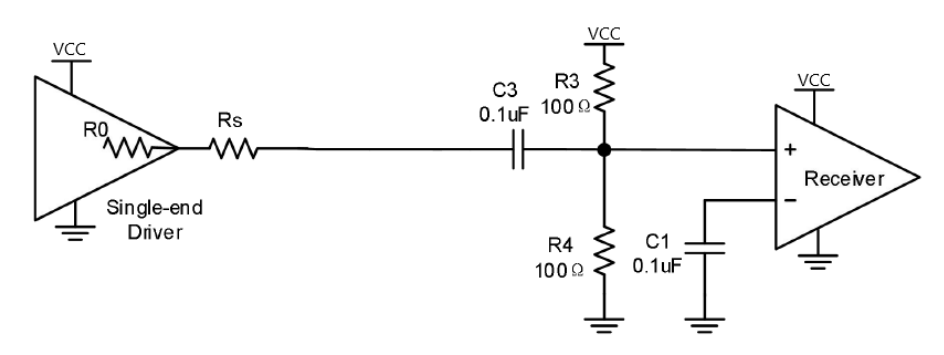


图6差分输入的单端接方法

b) 输入连接电路

CLK/CLK接受 LVDS、LVPECL、HCSL 和其他差分信号。两个差分信号都必须满足 VPP 和 VCMR 输入要求。图 7 至图 11 显示了由最常见的驱动器类型驱动的 CLK/CLK输入的接口示例。

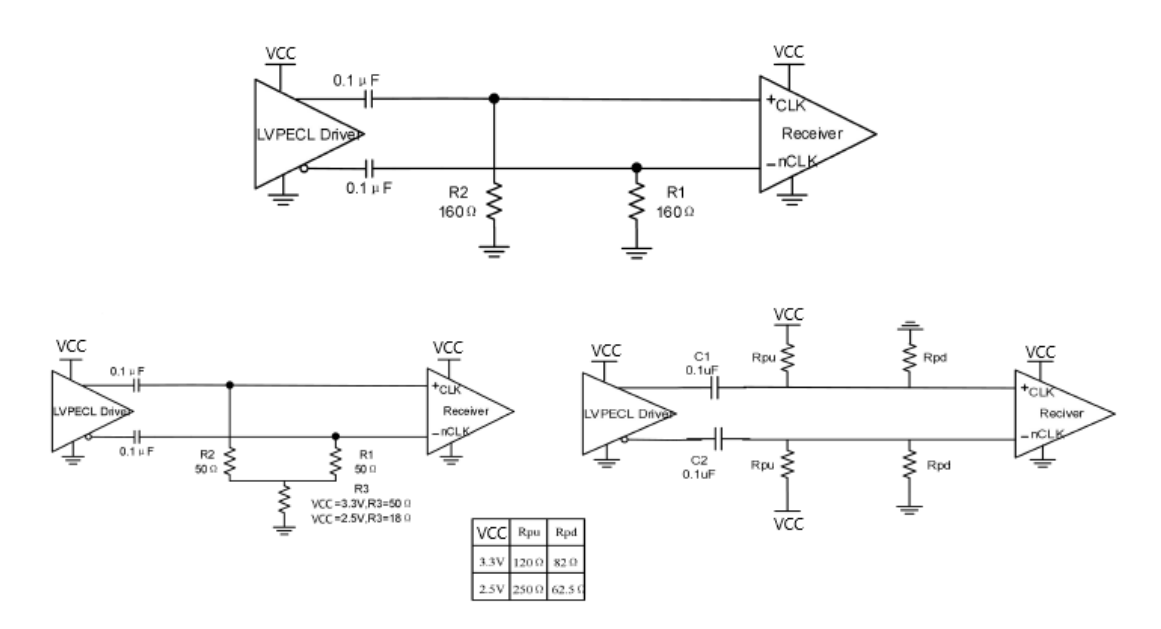


图7 LVPECL 驱动器 (AC)



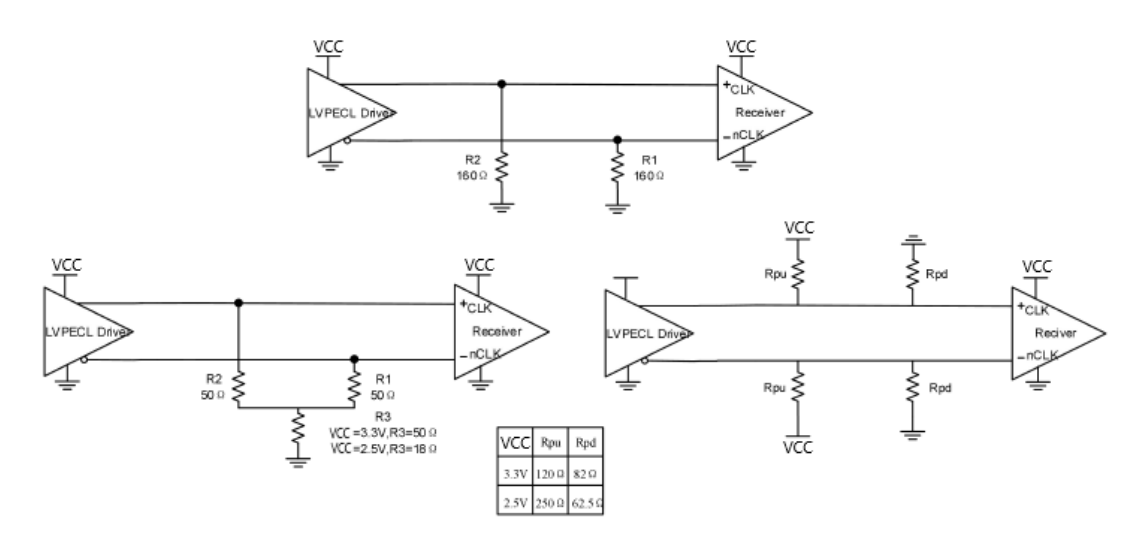


图8 LVPECL 驱动器(DC)

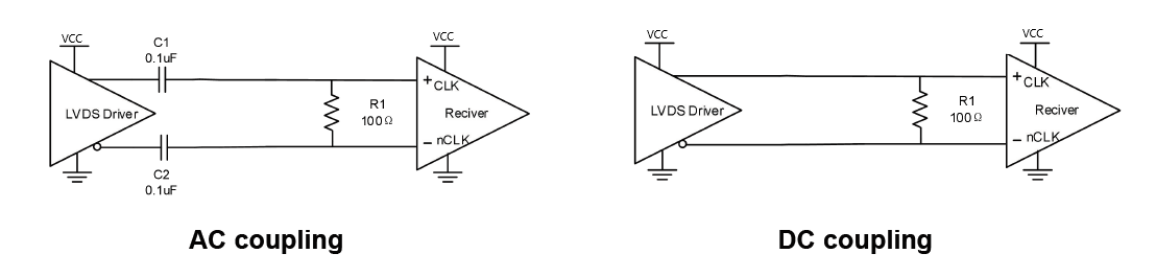


图9 LVDS 驱动器

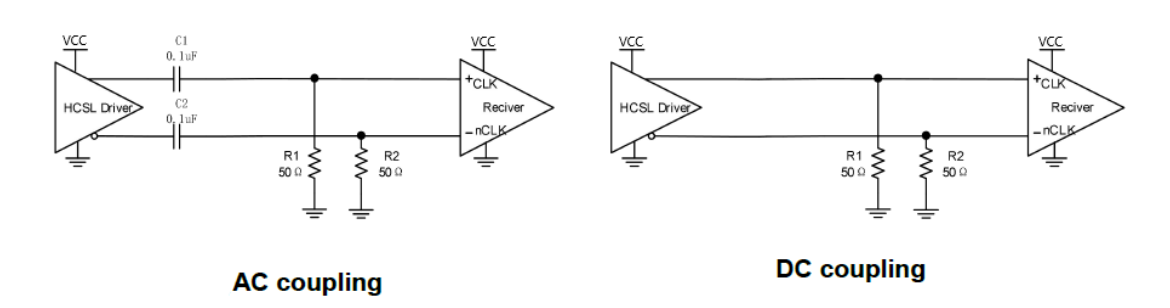


图10 HCSL 驱动器

c) 输出连接电路

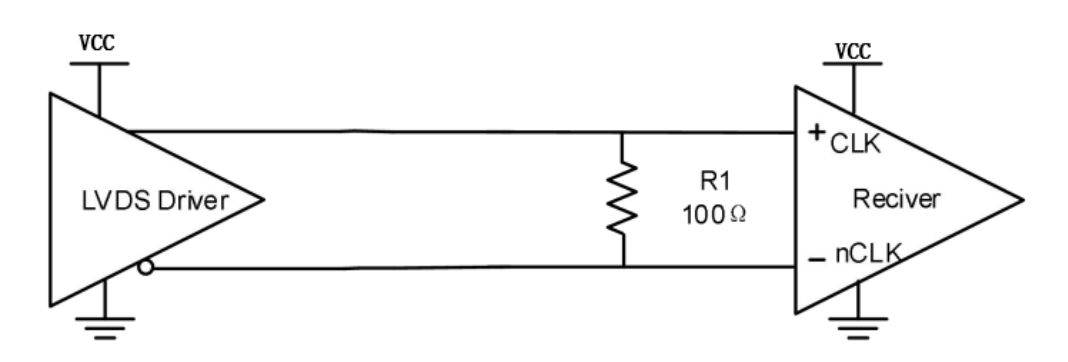


图11 LVDS 驱动器



12 订货信息

<u>HA</u> <u>CD</u> <u>1204</u> <u>QN</u>

1 2 3 4

- ① 单位简称
- ② 产品分类标识
- ③ 产品代号
- ④ 封装形式标识

13 版本修订

表4版本修订汇总表

| 版本 | 时间 | 描述 | 更改页 |
|------|------------|----|-----|
| V1.0 | 2023.10.12 | 新建 | |
| | | | |